

30MeV/u $^{40}\text{Ar} + ^{159}\text{Tb}$ 反应中中等质量碎片发射的时空演化 *

贺智勇 李祖玉 段利敏 张保国
靳根明 戴光曦 王宏伟 符彦飚

(中国科学院近代物理研究所 兰州 730000)

摘要 报道了 30MeV/u $^{40}\text{Ar} + ^{159}\text{Tb}$ 反应中中等质量碎片发射时间随空间大小的演化规律。实验结果表明,发射空间大小对 IMF 关联函数的影响主要来自于发射源的核物质密度,而几乎不依赖于源的质量数。对于发射时间较短($\tau \leq 100\text{fm}/c$)的高能碎片,较小的核物质密度导致提取的发射时间变小。在正常核物质密度参数下提取的发射时间可作为其上限值。对于发射时间较长的中低能碎片,发射时间不随空间大小变化,提取的发射时间值即为其实际值。

关键词 中等质量碎片 关联函数 发射时间 核物质密度

1 引言

高激发核系统在退激时将发射大量中等质量碎片(IMF) ($Z \geq 3$)。目前有两种截然不同的图象来解释这些 IMF 的来源,即:较慢的相继发射过程和瞬发的多重碎裂过程。区分这两种发射机制的一种常用的办法是测量IMF的发射时间,因为由多重碎裂来的 IMF 的发射时间很短并小于 $100\text{fm}/c^{[1]}$,而由相继衰变来的 IMF 的发射时间则长于 $300\text{fm}/c^{[2]}$ 。另一方面,两碎片的相对波函数受短程核相互作用和长程库仑力的影响,影响的大小主要取决于碎片的时空演化,因此,两碎片间的关联测量可以用来研究 IMF 发射的时空演化,例如,在固定发射空间大小的情况下,可提取发射时间的大小(见文献 [1—9])。由于两碎片关联函数对发射空间很灵敏,发射空间大小的变化将影响 IMF 发射时间的提取。本文则以 30MeV/u $^{40}\text{Ar} + ^{159}\text{Tb}$ 反应为例,来研究 IMF 发射中的时空演化,并探讨发射空间大小对提取的发射时间的影响。

1997-08-21收稿

* 国家自然科学基金(19675053)和中国科学院科学基金资助

2 实验概况

实验是在兰州重离子加速器(HIRFL)的大靶室终端(长为6m, 直径为2.4m)上进行的, 采用30MeV/u的 ^{40}Ar 束轰击 $311\mu\text{g}/\text{cm}^2$ 厚的 ^{159}Tb 靶。实验中束流强度为10—20nA。在前角区安装了一套由13个 $\Delta E-E$ 望远镜组成的探测器阵列关联测量反应中发射的两个碎片。该阵列距靶心650mm, 阵列中心与束流方向夹角为 17° , 最大夹角为 22° , 最小夹角为 11° 。相邻两套探测器的夹角(相对于靶子)为 3° , 最远两套的夹角为 11° 。其中每一套望远镜由一块 $200\mu\text{m}$ 厚的硅片作 ΔE 测量, 加一块50mm厚的BGO作E测量, 有效探测面积为 $\phi 17\text{mm}$ 。实验中采用 $\Delta E-E$ 方法鉴别粒子, 结果表明该阵列能分辨出p、d、t、 α 等轻粒子和 $Z \geq 3$ 的IMF。探测器测量轻粒子和IMF的能量阈分别为: 4.75(^1H)、19(^4He)、38(^7Li)、57.5(^9Be)、80(^{11}B)、103(^{12}C)、130(^{14}N)、158(^{16}O)、193(^{19}F)、222(^{20}Ne)、258(^{23}Na)、290(^{24}Mg)和329MeV(^{27}Al)等。对于 $Z > 13$ 的碎片由于探测器的能量阈较高没有记录。

3 IMF 关联函数对发射空间的灵敏度

为了便于累加不同 Z 值的IMF关联事件, 通常采用约化速度关联函数, 约化速度 V_{red} 定义为:

$$V_{\text{red}} = \left| (\mathbf{p}_1/m_1 - \mathbf{p}_2/m_2) \right| / \sqrt{Z_1 + Z_2} , \quad (1)$$

式中 $Z_1, Z_2, m_1, m_2, \mathbf{p}_1, \mathbf{p}_2$ 分别为两碎片的电荷、质量和动量, IMF约化速度关联函数 $R(V_{\text{red}})$ 定义为:

$$\Sigma Y_{12}(\mathbf{p}_1, \mathbf{p}_2) = C_{12}[1 + R(V_{\text{red}})]\Sigma Y_1(\mathbf{p}_1)Y_2(\mathbf{p}_2) , \quad (2)$$

式中 $Y_{12}(\mathbf{p}_1, \mathbf{p}_2)$ 为两个关联碎片约化速度为 V_{red} 时的符合产额, $Y_i(\mathbf{p}_i)$ 为单举产额, $\Sigma Y_1(\mathbf{p}_1)Y_2(\mathbf{p}_2)$ 为归一化函数, C_{12} 为归一化系数, 以保证在大 V_{red} 值时(无关联的情况下) $R(V_{\text{red}}) = 0$ 。为了提取IMF发射的时空信息, 本文采用了一个改进的三体弹道模拟程序MENEKA^[10]。该模型认为碎片均来自于一个半径为 R 的源的表面发射, 两碎片发射的时间差 t 通过指数分布几率 $p(t) \propto e^{-t/\tau}$ 随机抽样产生, 此处 τ 为粒子平均发射时间。发射源的半径 R 取为: $R = rA^{1/3}$, 其中 A 为发射源的质量数, r 为核半径参量(与核密度有关)。对发射源质量数 A 和电荷 Z 的变化, 引入系数 $K(K \leq 1)$:

$$\begin{cases} A = K(A_p + A_T) = KA_0 , \\ Z = K(Z_p + Z_T) = KZ_0 , \end{cases} \quad (3)$$

式中, A_p 和 A_T 分别为弹核和靶核质量数, Z_p, Z_T 分别为弹核和靶核电荷。碎片从源表面发射时的能量通过实验测得的能谱抽样给出, 这样减小了发射源速度和源温度误差的影响。三体(发射的两个碎片以及发射源)相互受库仑力和核力的作用使碎片的轨道和速度发生变化, 从而使碎片的相对速度发生变化。该模型还考虑了探测器阵列的几何接受范围和

探测器灵敏度的影响。

图1(a)显示了发射源质量数 A 分别为 A_0 、 $0.7A_0$ 和 $0.5A_0$ 时用 MENEKA 程序计算的 $30\text{MeV/u}^{40}\text{Ar} + ^{159}\text{Tb}$ 反应中 IMF 关联函数, 计算中取 $r_0 = 1.44\text{fm}$, 发射时间 τ 取为 $100\text{fm}/c$, 图中实心圆点为碎片能量为 $E/A = 15-20\text{MeV}$ 一组的 IMF 关联函数实验值。从图中可见, 关联函数对发射源的质量数不灵敏, 即使质量数减少 50%, 关联函数变化仍很小。同样也计算了更长的发射时间 ($\tau = 300\text{fm}/c$) 和更短的发射时间 ($\tau = 30\text{fm}/c$) 情况下不同 A 值下的关联函数, 同样观察到关联函数对源的质量数不灵敏。

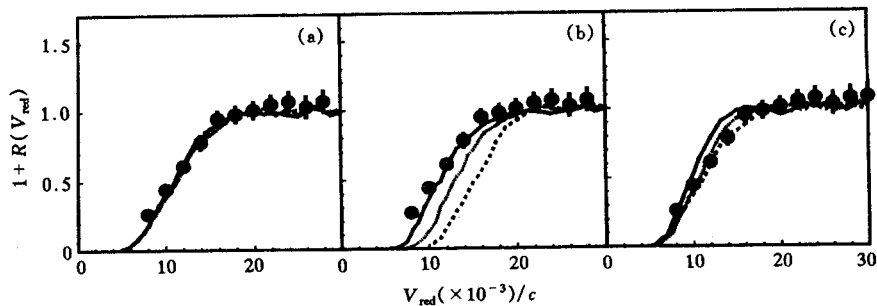


图 1 $30\text{MeV/u}^{40}\text{Ar} + ^{159}\text{Tb}$ 反应中不同质量数 A 和半径参数 r 下的 IMF 关联函数

● 为实验数据。

- (a) $\tau = 100\text{fm}/c$, $r = r_0$, —— $A = A_0$, ····· $A = 0.7A_0$, - - - $A = 0.5A_0$
- (b) $\tau = 30\text{fm}/c$, $A = 0.7A_0$, —— $r = r_0$, ····· $r = 2r_0$, - - - $r = 3r_0$
- (c) $\tau = 100\text{fm}/c$, $A = 0.7A_0$, —— $r = r_0$, ····· $r = 2r_0$, - - - $r = 3r_0$.

图 1 显示了发射时间 $\tau = 30\text{fm}/c$ (b) 和 $\tau = 100\text{fm}/c$ (c) 时核半径参量 r 分别为 r_0 、 $2r_0$ 、 $3r_0$ 的 IMF 关联函数, 计算中 A 取为 $0.7A_0$ 值, 图中实心圆点为碎片能量 $E/A = 15-20\text{MeV}$ 一组的 IMF 关联函数实验值。由图 1(b) 中可见, 对较短的发射时间 $\tau = 30\text{fm}/c$, 关联函数对半径参数变化很灵敏。当 $r = r_0$ 时(正常的核物质密度), IMF 关联函数的反关联程度最强, 随着半径参数值的增大, 反关联程度变弱。这是由于当发射两碎片的时间间隔很短时, 发射源空间越大, 两关联碎片间的距离越大, 因此, 两碎片间的库仑排斥力越弱, 导致反关联程度也越弱。比较图(b)中的实验点和理论计算可知, 对 $E/A = 15-20\text{MeV}$ 一组的碎片, 提取的 $r = 3r_0$ 和 $\tau = 30\text{fm}/c$ 。随着发射时间的变长, 关联函数对 r 的灵敏性逐渐变小。当 $\tau = 100\text{fm}/c$ (图 1(c)) 时, 随着 r 的增加, IMF 关联函数的反关联程度仍变弱。比较实验点和计算曲线可知, 对 $E/A = 15-20\text{MeV}$ 一组的碎片, 当 $\tau = 100\text{fm}/c$ 时 $r = r_0$ 值, 即发射时间与发射空间是相互关联的。此外, 还计算了更长发射时间下 (如 $\tau = 300\text{fm}/c$), 关联函数对半径参量的灵敏性, 观察到随着半径参数的增加, 关联函数几乎不变。很显然, 在较长发射时间情况下, 先后发射的两碎片间的距离主要取决于发射两碎片的时间间隔, 而对源的大小 (即两碎片的发射起点) 依赖不大, 因此, 两碎片和源之间的库仑力也主要取决于发射时间, 而对源的大小不灵敏。

在零发射时间 $\tau = 0\text{fm}/c$ 情况下, 关联函数随 r 的变化最灵敏, 此时两碎片间的距离完全取决于两碎片的发射起点, 即源的大小。因此, 两碎片和源之间的库仑力也完全依赖于源

的大小。基于此原因,在以前的研究中,通常在零寿命假设下提取发射空间的大小(如文献[11, 12])。从图1(b)、(c)可以看出,采用的寿命或发射时间越长,得到的发射空间越小。因此,在零寿命假设下提取出的发射空间为其上限值,真实的发射空间小于或等于此值。

4 发射空间大小对提取 IMF 发射时间的影响

为了探讨发射空间对提取的 IMF 发射时间的影响,计算了在各种 r 值和 τ 值下的 IMF 关联函数,并从实验数据中提取了 IMF 发射时间,图 2 显示了 30MeV/u $^{40}\text{Ar} + ^{159}\text{Tb}$ 反应中提取的发射时间和空间的关联图,图中实心方块、空心圆点和实心圆点分别为从三组能量: $E/A = 9-12, 12-15$ 和 $15-20\text{MeV}$ 的 IMF 关联数据中提出的结果。从图 2(a) 中可知,由于高能碎片组发射时间较短,提取的发射时间随 r 的增大而减少,从 $r = r_0$ 的约 $100\text{fm}/c$ 下降至 $r = 3r_0$ 的 $30\text{fm}/c$,即: 使用较大的源半径参数将得到较小的发射时间。随着碎片能量的减小,发射时间变长, τ 值随 r 值变化的灵敏性变小。对于 $E/A = 9-12\text{MeV}$ 能量组的低能碎片,随着 r 从 r_0 变化至 $3r_0$, τ 值只减少了 15% ,即 $30\text{fm}/c$ 。

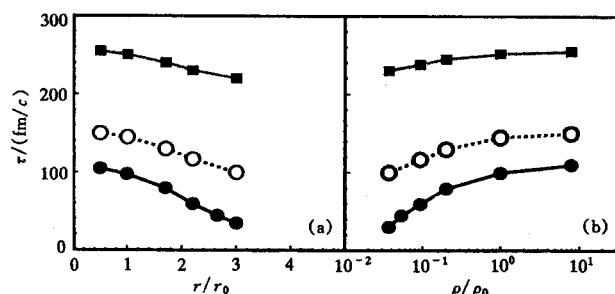


图 2 IMF 发射时间 τ 随核半径参数 r 和核物质密度 ρ 的演化

■ $E/A = 9-10\text{MeV}$, ○ $E/A = 12-15\text{MeV}$, ● $E/A = 15-20\text{MeV}$.

图 2(b) 为发射时间随核物质密度的演化图,其中, $\rho / \rho_0 = (r_0 / r)^3$ 。与图 2(a) 相同,高能组提取出的 τ 值随 ρ 变化较大,而中、低能组提取出的 τ 值随 ρ 变化较小;当 $\rho < \rho_0$ 时(即核物质膨胀), τ 值随 ρ 减小而减小,当 $\rho > \rho_0$ 时(即核物质压缩),随着 ρ 的增大, τ 值几乎保持不变。因此,在正常核物质密度下提取出的发射时间为其上限值,当核物质存在压缩-膨胀现象时,得到的发射时间小于或等于此值。

图 3 显示了 30MeV/u $^{40}\text{Ar} + ^{159}\text{Tb}$ 反应中发射时间随碎片能量的演化图。图 3(a) 为没有考虑空间大小修正,在正常核物质密度下提取的发射时间,其中空心圆点为平均值,阴影区为提取过程中的系统误差。图中清楚地显示了随着碎片能量的增加,IMF 发射时间下降很快,在碎片能量 $E/A = 6-9\text{MeV}$ 时,IMF 平均发射时间为

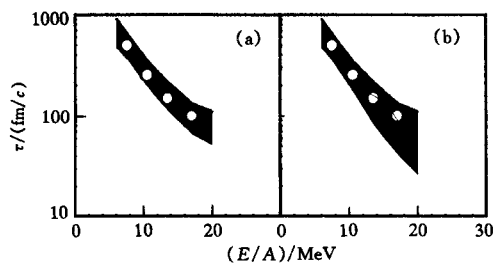


图 3 不考虑空间大小(a)和考虑了空间大小影响后(b),提取的发射时间 τ 随 IMF 能量的变化

$500\text{fm}/c$, 该发射时间与复合核衰变的统计模型预言相一致。但当碎片能量升高至 14MeV/u 和 17MeV/u 时, 发射时间下降至 $100\text{fm}/c$ 左右, 这个时间接近于动力学模型的预言值, 这些快速发射出来的碎片不可能来自于平衡发射, 更可能来自于前平衡发射。

图 3(b)为考虑了空间大小修正后提取的发射时间, 图中空心圆点为在正常核物质密度下提取的平均发射时间, 即与(a)的圆点是一致的, 图中的阴影区为考虑了发射空间大小的影响后的系统误差。比较图 3 左右两图可知, 当发射时间 $\tau \geq 150\text{fm}/c$ 时, 空间大小的变化几乎不影响 τ 值的提取, 利用正常核半径参数提取的 τ 值即可作为真实值; 当发射时间 $\tau \leq 100\text{fm}/c$ 时, 空间大小的变化强烈地影响 τ 值的提取, 此时提取的 τ 值误差很大, 提取的 τ 值只能作为其上限值。正如引言中讨论的一样, 相继衰变来的 IMF 的发射时间长于 $300\text{fm}/c$, 提取的 τ 值误差较小; 而多重碎裂来的 IMF 的发射时间 $\tau \leq 100\text{fm}/c$, 提取的 τ 值误差较大。

5 结论

本文研究了 $30\text{MeV/u} {}^{40}\text{Ar} + {}^{159}\text{Tb}$ 反应中高激发热核衰变发射中等质量碎片时发射源的时空演化过程, 并讨论了发射源的空间大小对提取 IMF 发射时间的影响。发射空间大小对 IMF 关联函数的影响主要来自于发射源的核物质密度, 而几乎不依赖于源的质量数。实验结果表明, 碎片发射时间随碎片能量升高而缩短, 从低能碎片的约 $500\text{fm}/c$ 下降至高能碎片的约 $100\text{fm}/c$, 对于发射时间较短 ($\tau \leq 100\text{fm}/c$) 的高能碎片, 从关联函数提取出的发射时间随核物质密度的减小(即发射源膨胀)而减小; 在正常核物质密度下提取的发射时间为其上限值。对于发射时间较长的中、低能碎片, 提取出的发射时间随核物质密度变化很小, 在正常核物质密度下提取的值即为实际的发射时间值。

感谢 A. Elmaani, E. Bauge, N. N. Ajitanand 提供了 MENEKA 计算程序。

参 考 文 献

- [1] Fox D et al. Phys. Rev., 1993, C47(2):R421—R424
- [2] Bauge E et al. Phys. Rev. Lett., 1993, 70(24):3705—3708
- [3] Kim Y D et al. Phys. Rev. Lett., 1991, 67(1):14—17
- [4] Cornell E et al. Phys. Rev. Lett., 1995, 75(8):1475—1478
- [5] He Zhiyong et al. Acta Physica Sinica, 1997, 46(7):1312—1318
- [6] He Zhiyong et al. High Energy Physics and Nuclear Physics (in Chinese), 1996, 20(1):8—12; 1996, 20(7):596—600
(贺智勇等. 高能物理与核物理, 1996, 20(1):8—12; 1996, 20(7):596—600)
- [7] He Zhiyong et al. Chinese Physics Letters, 1995, 12(9):521—523; 1996, 13(3):168—171
- [8] He Zhiyong et al. Nucl. Phys., 1997, A620(2):214—228
- [9] He Zhiyong et al. Eur. Phys. J., 1998, A1:61—64
- [10] Elmaani A et al. Nucl. Instr. & Meth., 1992, A313:401—412
- [11] Xi Hongfei et al. Nucl. Phys., 1993, A552:281—292
- [12] Pochodzalla J et al. Phys. Rev., 1987, C35(5):1695—1719

Space-Time Evolution During Emission of Intermediate Mass Fragment from $^{40}\text{Ar} + ^{159}\text{Tb}$ Reaction at 30 MeV/u*

He Zhiyong Li Zuyu Duan Limin Zhang Baoguo
Jin Genming Dai Guangxi Wang Hongwei Fu Yanbiao

(Institute of Modern Physics, The Chinese Academy of Sciences, Lanzhou 730000)

Abstract The emission time of intermediate mass fragments has been studied as a function of spatial evolution of the source for $^{40}\text{Ar} + ^{159}\text{Tb}$ reaction at 30 MeV/u. Reduction of the mass number of source has a very small effect on the extracted emission time. For the high-energy fragments with a short emission time $\tau \leq 100\text{fm}/c$, a smaller nuclear density would lead to a smaller assignment for τ , therefore the τ values extracted in the normal nuclear density could be taken as upper limits of real τ values. For the low-energy fragments, their emission times do not vary with size of the source and these τ values could be taken as the real values.

Key words intermediate mass fragment, correlation function, emission time, nuclear matter density

Received 21 August 1997

* Supported by the National Natural Science Foundation of China (19675053) and supported by the Chinese Academy of Science